

УДК 519.6

## Сингулярное разложение в задаче об источнике\*

С.И. Кабанихин<sup>1,2</sup>, О.И. Криворотько<sup>2</sup>

<sup>1</sup>Федеральное государственное бюджетное учреждение науки Институт вычислительной математики и математической геофизики Сибирского отделения Российской академии наук, просп. Акад. М.А. Лаврентьева, 6, Новосибирск, 630090

<sup>2</sup>Новосибирский государственный университет, ул. Пирогова, 2, Новосибирск, 630090  
E-mails: kabanikhin@sscc.nsc.ru (Кабанихин С.И.), krivorotko.olya@mail.ru (Криворотько О.И.)

**Кабанихин С.И., Криворотько О.И.** Сингулярное разложение в задаче об источнике // Сиб. журн. вычисл. математики / РАН. Сиб. отд-ние. — Новосибирск, 2012. — Т. 15, № 2. — С. 101–107.

Рассматривается обратная задача определения источника в волновом уравнении по дополнительной информации, измеренной на различных частях границы области. Исследуется степень некорректности обратной задачи. Построен и исследован алгоритм регуляризации, основанный на сингулярном разложении дискретного аналога обратной задачи.

**Ключевые слова:** обратная задача об источнике, сингулярное разложение, степень некорректности.

**Kabanikhin S.I., Krivorotko O.I.** Singular value decomposition in the source problem // Siberian J. Num. Math. / Sib. Branch of Russ. Acad. of Sci. — Novosibirsk, 2012. — Vol. 15, № 2. — P. 101–107.

The inverse source problem for the wave equation is considered. The additional information is measured on different parts of the boundary of the domain. The degree of ill-posedness of the inverse problem is investigated. The numerical algorithm which is based on the SVD of the discrete inverse problem is constructed and tested.

**Key words:** inverse source problem, singular value decomposition, degree of ill-posedness.

### 1. Постановка задачи

Рассматривается обратная задача 1 определения функции  $q(x, y)$  из соотношений

$$\begin{cases} u_{tt} = u_{xx} + u_{yy} + g(t)q(x, y), & (x, y) \in \Omega, t \in (0, T), \\ u|_{t=0} = 0, & u_t|_{t=0} = 0, \\ \frac{\partial u}{\partial n} = 0 & \text{на } \partial\Omega, \end{cases} \quad (1)$$

$$u(0, y, t) = f_1(y, t), \quad (2)$$

где  $\Omega = \{(x, y) \in R^2 \mid 0 < x < L_1, 0 < y < L_2\}$ ,  $n$  — внешняя нормаль к  $\partial\Omega$ . Здесь функция  $g(t)$  считается известной и  $g(+0) \neq 0$ . Подобные задачи возникают в сейсморазведке, электродинамике, акустике и в других процессах, описываемых волновыми уравнениями. Дополнительная информация (2) во многих случаях может быть дополнена измерениями на других частях границы, например,

$$u(L_1, y, t) = f_2(y, t), \quad (3)$$

\*Работа поддержана грантом РФФИ (проект № 03-01-11111).

$$u(x, L_2, t) = f_3(x, t). \quad (4)$$

Обратной задачей **2** назовем задачу определения функции  $q(x, y)$  из соотношений (1)–(3), а обратной задачей **3** — определения функции  $q(x, y)$  из соотношений (1)–(4).

В данной работе мы покажем, что увеличение количества дополнительной информации, т. е. переход от обратной задачи **1** к обратной задаче **2**, а затем к обратной задаче **3** улучшает разрешающую способность обратной задачи. Основная идея работы заключается в исследовании дискретного аналога обратной задачи, построении явного вида оператора дискретной обратной задачи (матрицы  $A_{mn}$ ) и в исследовании поведения сингулярных чисел оператора дискретной обратной задачи.

## 2. Дискретизация обратной задачи

После несложных преобразований, включающих деконволюцию и разложение в ряд Фурье по переменной  $y$ , обратную задачу **1** можно привести к последовательности одномерных обратных задач [1–3]:

$$\begin{cases} u^{(k)}_{tt} = u^{(k)}_{xx} - \frac{4\pi^2}{L_2^2} k^2 u^{(k)}, & x \in (0, L_1), t \in (0, T), \\ u^{(k)}(x, 0) = q^{(k)}(x), & u^{(k)}_t(x, 0) = 0, \end{cases} \quad (5)$$

$$u^{(k)}_x(0, t) = u^{(k)}_x(L_1, t) = 0, \quad (6)$$

$$u^{(k)}(0, t) = f^{(k)}_1(t), \quad (7)$$

здесь  $k = 0, \pm 1, \pm 2, \dots$ .

Дополнительная информация для обратных задач **2** и **3** принимает вид

$$u^{(k)}(L_1, t) = f^{(k)}_2(t), \quad (8)$$

$$u^{(k)}(L_2, t) = f^{(k)}_3(t). \quad (9)$$

Построение сингулярного разложения в нашем случае является сложной задачей [4]. Однако на практике линейные некорректные задачи сводятся к системам линейных алгебраических уравнений (СЛАУ), поэтому мы рассмотрим дискретный аналог обратной задачи.

Пусть количество узлов равномерной сетки по переменной  $x$  на интервале  $(0, L_1)$  четно:  $N_x = 2p$ . Выберем количество узлов равномерной сетки по переменной  $t$  из условия  $N_t \geq N_x$ , где  $N_t$  нечетно. Интервал измерения по  $t$  выберем из условия  $T = \frac{N_t}{N_x} L_1$ . Тогда  $h_x = h_t = h$ , где  $h_x = L_1/N_x$ ,  $h_t = T/N_t$ .

Используя явную разностную схему второго порядка аппроксимации, получим дискретную задачу

$$\begin{cases} u_i^{j+1} = \frac{c_k}{2} u_{i+1}^j + \frac{c_k}{2} u_i^j - u_i^{j-1}, \\ u_i^0 = q_i, \\ u_0^{j+1} = c_k u_1^j - u_0^{j-1}, \end{cases} \quad \begin{cases} u_i^1 = \frac{c_k}{4} (u_{i+1}^0 + u_{i-1}^0), \\ u_{N_x}^{j+1} = c_k u_{N_x-1}^j - u_{N_x}^{j-1}, \end{cases} \quad (10)$$

где

$$c_k = 2 - k^2 h^2,$$

$$u_0^j = f_1^j, \quad (11)$$

$$u_{N_x}^j = f_2^j, \quad (12)$$

$$u_{N_y}^j = f_3^j. \quad (13)$$

Целью следующего подпункта 2.1 является представление обратной задачи (10)–(11) в виде  $A_{m,n}^1 q_n = f_m^1$ , обратной задачи (10)–(12) в виде  $A_{2m,n}^{12} q_n = f_{2m}^2$ , обратной задачи (10)–(13) в виде  $A_{3m,n}^{123} q_n = f_{3m}^3$ .

## 2.1. Сведение обратных задач к СЛАУ

Пусть

$$v_1 = (u_0^2, u_2^2, \dots, u_{N_x}^2)^\top, \quad v_2 = (u_1^3, u_3^3, \dots, u_{N_x-1}^3)^\top.$$

Положим

$$U^0 = (u_0^0, u_2^0, \dots, u_{N_x}^0, u_1^1, u_3^1, \dots, u_{N_x-1}^1)^\top, \quad U^1 = (v_1, v_2)^\top,$$

$$Q = (q_0, q_2, \dots, q_{N_x})^\top.$$

В силу того, что  $N_x = 2p$ , векторы  $U^0$  и  $U^1$  имеют размерность  $2p + 2$ . Векторы  $v_1$  и  $v_2$  можно записать следующим образом [1]:

$$v_1 = B_4 U^0, \quad v_2 = B_1 v_1 + B_2 B_3 U^0.$$

Здесь

$$B_1 = \begin{pmatrix} \frac{c_k}{2} & \frac{c_k}{2} & 0 & \dots & 0 \\ 0 & \frac{c_k}{2} & \frac{c_k}{2} & \dots & 0 \\ \vdots & \vdots & \ddots & \ddots & \vdots \\ 0 & 0 & \dots & \frac{c_k}{2} & \frac{c_k}{2} \end{pmatrix}, \quad B_2 = \begin{pmatrix} -1 & 0 & \dots & 0 \\ 0 & -1 & \dots & 0 \\ \vdots & \vdots & \ddots & \vdots \\ 0 & 0 & \dots & -1 \end{pmatrix},$$

$$B_3 = \begin{pmatrix} 0 & 0 & \dots & 0 & 1 & 0 & \dots & 0 \\ 0 & 0 & \dots & 0 & 0 & 1 & \dots & 0 \\ \vdots & \vdots & \ddots & \vdots & \vdots & \vdots & \ddots & \vdots \\ 0 & 0 & \dots & 0 & 0 & 0 & \dots & 1 \end{pmatrix}, \quad B_4 = \begin{pmatrix} -1 & 0 & \dots & 0 & \frac{c_k}{2} & 0 & \dots & 0 \\ 0 & -1 & \dots & 0 & \frac{c_k}{2} & \frac{c_k}{2} & \dots & 0 \\ \vdots & \vdots & \ddots & \vdots & \vdots & \vdots & \ddots & \vdots \\ 0 & 0 & \dots & -1 & 0 & 0 & \dots & c_k \end{pmatrix}.$$

**Теорема 1.** Обратная задача 1 сводится к системе линейных алгебраических уравнений  $A_{m,n}^1 q_n = f_m^1$ , где матрица  $A_{m,n}^1$  имеет следующий вид:

$$A_{m,n}^1 = M_1 P, \quad M_1 = \begin{pmatrix} 1\text{-я строка матрицы } I & I \\ 1\text{-я строка матрицы } C & C \\ 1\text{-я строка матрицы } C^2 & C^2 \\ \vdots & \vdots \\ 1\text{-я строка матрицы } C^{(N_t-1)/2} & C^{(N_t-1)/2} \end{pmatrix}, \quad C = \begin{pmatrix} B_4 \\ B_1 B_4 + B_2 B_3 \end{pmatrix},$$

$$P = \begin{pmatrix} 1 & 0 & 0 & \cdots & 0 \\ 0 & 1 & 0 & \cdots & 0 \\ \vdots & \vdots & \vdots & \ddots & \vdots \\ 0 & 0 & 0 & \cdots & 1 \\ -\frac{c_k}{4} & \frac{c_k}{4} & 0 & \cdots & 0 \\ 0 & -\frac{c_k}{4} & \frac{c_k}{4} & \cdots & 0 \\ \vdots & \vdots & \ddots & \ddots & \vdots \\ 0 & 0 & \cdots & -\frac{c_k}{4} & \frac{c_k}{4} \end{pmatrix}.$$

Размерность матрицы  $P$  равна  $(2p+1) \times (p+1)$ .

**Следствие 1.** Обратные задачи **2** и **3** сводятся к системам линейных алгебраических уравнений  $A_{2m,n}^{12} q_n = f_{2m}^2$  и  $A_{3m,n}^{123} q_n = f_{3m}^3$  соответственно, где

$$A^{12} = \begin{pmatrix} A^1 \\ A^2 \end{pmatrix} = \begin{pmatrix} M_1 P \\ M_2 P \end{pmatrix}, \quad M_2 = \begin{pmatrix} (p+1)\text{-я строка матрицы } I \\ (p+1)\text{-я строка матрицы } C \\ (p+1)\text{-я строка матрицы } C^2 \\ \vdots \\ (p+1)\text{-я строка матрицы } C^{(N_t-1)/2} \end{pmatrix},$$

$$A^{123} = \begin{pmatrix} A^1 \\ A^2 \\ A^3 \end{pmatrix} = \begin{pmatrix} M_1 P \\ M_2 P \\ M_3 P \end{pmatrix}, \quad M_3 = \begin{pmatrix} (p+1)\text{-я строка матрицы } C^{(N_t-1)/2} \\ (p+2)\text{-я строка матрицы } C^{(N_t-1)/2} \\ (p+3)\text{-я строка матрицы } C^{(N_t-1)/2} \\ \vdots \\ (2p-1)\text{-я строка матрицы } C^{(N_t-1)/2} \end{pmatrix}.$$

Напомним, что матрицы  $A^1$ ,  $A^{12}$ ,  $A^{123}$  построены для конкретного значения  $k$ , т. е.  $A^1 = A^1(k)$ ,  $A^{12} = A^{12}(k)$ ,  $A^{123} = A^{123}(k)$ .

Исследуем сингулярные числа матриц.

## 2.2. SVD анализ матриц

Ниже приведены графики сингулярных чисел при различных значениях  $k = 0, 4, 15, 25$ .

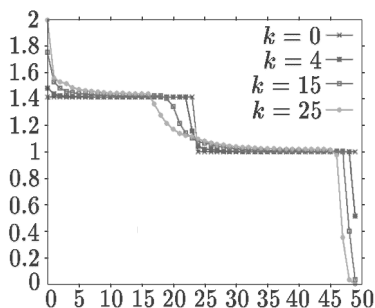


Рис. 1.  $\sigma_j(A^1)$

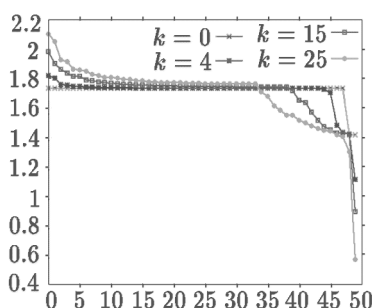


Рис. 2.  $\sigma_j(A^{12})$

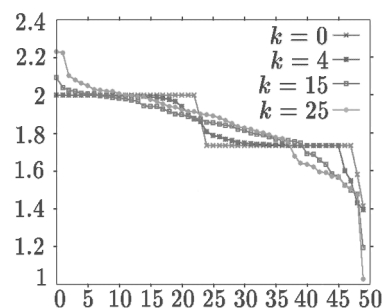


Рис. 3.  $\sigma_j(A^{123})$

На рис. 1 приведены сингулярные числа матрицы  $A^1$ ,  $\sigma_j(A^1)$ , на рис. 2 — сингулярные числа матрицы  $A^{12}$ ,  $\sigma_j(A^{12})$ , на рис. 3 — сингулярные числа матрицы  $A^{123}$ ,  $\sigma_j(A^{123})$ ,  $j = 0, 1, 2, \dots, 50$ .

Анализ графиков на рис. 3 показывает, что у задачи (10)–(13) сингулярные числа  $\sigma_j(A^{123})$  медленнее стремятся к нулю, чем у задачи (10)–(12). В свою очередь, у задачи (10)–(12) сингулярные числа  $\sigma_j(A^{12})$  медленнее стремятся к нулю, нежели у задачи (10)–(11). С ростом  $k$  сингулярные числа во всех трех случаях стремятся к нулю, т. е. степень некорректности задачи растет [1].

Таким образом, количество измерений на границе области непосредственно влияет на характер убывания сингулярных чисел матрицы, соответствующей оператору задачи.

### 2.3. Алгоритм построения нормального псевдорешения и $r$ -решения

Рассмотрим задачу  $A_{mn}q_n = f_m$ . В силу теоремы о сингулярном разложении существуют ортогональные матрицы  $U_{mm}$  и  $V_{nn}$  и набор неотрицательных чисел  $\{\sigma_j\}$ , что

$$A_{mn} = U_{mm}\Sigma_{mn}V_{nn}^\top.$$

Здесь

$$\Sigma_{mn} = \begin{pmatrix} \sigma_1 & 0 & 0 & 0 & 0 & 0 & 0 \\ 0 & \sigma_2 & 0 & 0 & 0 & 0 & 0 \\ \vdots & \vdots & \ddots & \ddots & \vdots & \vdots & \vdots \\ 0 & 0 & 0 & \cdots & \sigma_m & 0 & 0 \end{pmatrix}, \quad \sigma_{j+1} \leq \sigma_j.$$

Задача  $A_{mn}q_n = f_m$  переписывается в виде

$$U_{mm}\Sigma_{mn}V_{nn}^\top q_n = f_m.$$

Положим  $z_n = V_{nn}^\top q_n$ . Тогда  $q_n = V_{nn}z_n$ . В силу того, что  $U_{mm}^\top = U_{mm}^{-1}$ , получаем

$$\Sigma_{mn}z_n = U_{mm}^\top f_m = g_m.$$

Следовательно,  $z_j = g_j/\sigma_j$ , если  $\sigma_j \neq 0$  ( $j = 1, 2, \dots, m$ ). При  $\sigma_j = 0$  полагаем  $z_j = 0$ . Тем самым построено *нормальное псевдорешение*  $q_{\text{нп}} = V_{nn}z_n$  [2].

В силу невозрастания последовательности  $\{\sigma_j\}$  ошибки измерения могут возрастать, поскольку  $z_j = g_j/\sigma_j$ . В этом случае при определении  $z_j$  может получиться большая погрешность. Во избежание накопления погрешности необходимо предусмотреть операцию зануления малых сингулярных чисел, которую можно интерпретировать как специальную процедуру регуляризации.

Наиболее естественно полагать  $z_j$  равным нулю, начиная с некоторого номера  $r$  (т. е. строить  $r$ -решение). Важным является вопрос: при каком номере  $r$  обрыв сингулярных чисел  $\sigma_j$ ,  $j = 1, \dots, r$ , будет оптимальным? При слишком малом номере  $r$  мы сильно изменим исходную систему, а при слишком большом номере  $r$  найденное решение будет обладать слишком большой погрешностью (ввиду деления на очень малое число).

Регуляризация в данном случае состоит в согласовании номера  $r$  с уровнем погрешности  $\epsilon$ .

**Теорема 2.** Пусть  $q_r^\epsilon$  — решение системы  $Aq = f^\epsilon$ ,  $\|f - f^\epsilon\| \leq \epsilon$ . Тогда справедлива следующая оценка:

$$\|q_{\text{нп}} - q_r^\epsilon\|^2 \leq \frac{c^2}{3r^3} + \epsilon^2 \sum_{j=1}^r \frac{1}{\sigma_j^2}, \quad (14)$$

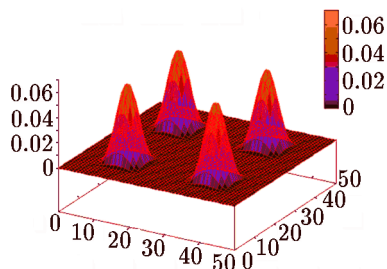
здесь  $c$  — некоторая постоянная, а  $r$  — решение уравнения

$$-\frac{c^2}{r^4} + \epsilon^2 \frac{1}{\sigma_r^2} = 0. \quad (15)$$

### 3. Численные эксперименты

В численных экспериментах полагалось:  $L_1 = L_2 = \pi$ ,  $T = \frac{3}{2}\pi$ ,  $N_x = 100$ ,  $N_t = 151$ .

В качестве пробного решения была рассмотрена функция



$$q_T(x, y) = 0.1 + \frac{\cos 8y + 1}{8} \frac{\cos 8x + 1}{8},$$

$$x, y \in \left(\frac{\pi}{8}, \frac{3\pi}{8}\right) \cup \left(\frac{5\pi}{8}, \frac{7\pi}{8}\right) \times \left(\frac{\pi}{8}, \frac{\pi}{8}\right) \cup \left(\frac{5\pi}{8}, \frac{7\pi}{8}\right). \quad (16)$$

**Рис. 4.** График точного решения  $q_T(x, y)$

На рис. 4 представлен график точного решения  $q_T(x, y)$ .

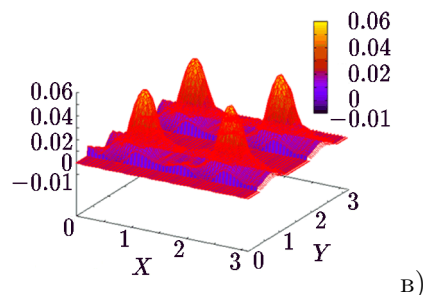
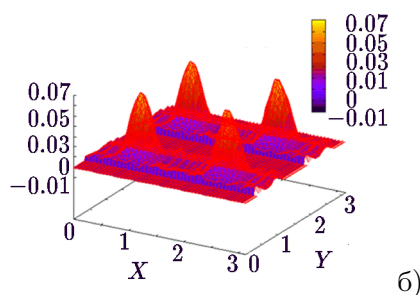
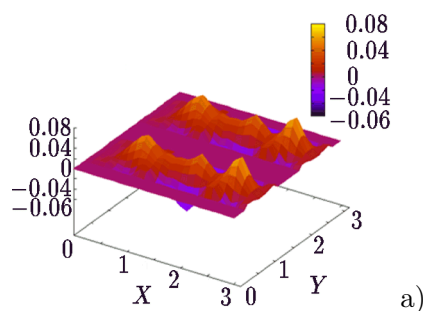
В качестве дополнительной регуляризации использовался прием С.К. Годунова [5]. В случае возникновения малых сингулярных чисел для использования регуляризующего алгоритма задавалась дополнительная информация о решении. Для рассматриваемой задачи естественно предполагать гладкость рассматриваемых функций, поэтому в качестве априорной информации о решении рассматривались два условия:

$$\frac{q_{i+1} - q_i}{h} < M, \quad (17)$$

то есть ограниченность первой производной;

$$\frac{q_{i+1} - 2q_i + q_{i-1}}{h^2} < M, \quad (18)$$

то есть ограниченность второй производной. Здесь  $M$  — некоторая постоянная.



**Рис. 5.** Графики восстановленного решения  $q$ : а) обратная задача 1, дополнительная информация о решении (17); б) обратная задача 2, дополнительная информация о решении (18); в) обратная задача 3

При использовании приема С.К. Годунова параметр  $\alpha$  выбирался из условия минимальности относительной нормы  $\frac{\|q_T - q_r\|}{\|q_T\|}$  относительно  $\alpha$ . Всюду далее ошибка в правой части  $\epsilon = 2\%$ .

Таким образом, увеличение количества измерений позволяет достигнуть лучшей точности восстановления решения (в случае трех измерений дополнительная информация о решении не использовалась). Однако и при меньшем количестве измерений (случай двух измерений) регуляризованное решение достаточно точно восстанавливается (даже при зашумленных данных). Причем, чем точнее априорная информация о решении, тем устойчивее восстановленное решение (сравните рис. 5а и рис. 5б).

## Литература

1. **Кабанихин С.И., Криворотько О.И.** Исследование обратной задачи термоакустики методом сингулярного разложения // Сибирские электронные математические известия. — 2011. — (В печати).
2. **Кабанихин С.И.** Обратные и некорректные задачи. — Новосибирск: Сибирское научное изд-во, 2008.
3. **Владимиров В.С.** Уравнения математической физики. Издание: четвертое. — М.: Наука, 1981.
4. **Годунов С.К., Гордиенко В.М.** Сингулярные числа краевой задачи на полупрямой для линейной системы обыкновенных дифференциальных уравнений // Сибирский математический журнал. — 1989. — Выпуск № 4. — С. 5–12.
5. **Годунов С.К., Антонов А.Г., Кирилюк О.И., Костин В.И.** Гарантированная точность решения систем линейных уравнений в евклидовых пространствах. — Новосибирск: Наука, 1992.

*Поступила в редакцию 6 октября 2011*

